

待发表。  
7.

HE

# F 旋自由度和转动核的能谱

狄尧民 苏耀中

(徐州师范学院)

## 摘要

本文从  $F$  旋破缺的观点出发, 具体地讨论和计算了几个转动核的能谱。计算表明, 用该方案计算的理论值和实验符合较好, 特别是它能成功地再现某些核的奇  $K$  转动带。

$r''$ , which are  
a of the states  
valence-nuc-  
ital low-lying

## 一、引言

相互作用玻色子模型是近年来受到普遍重视的一个研究领域。它存在两种类型: IBM-I 和 IBM-II。IBM-I 不区分中子玻色子和质子玻色子, 而 IBM-II 则加以区分。IBM-II 的物理图象显然较 IBM-I 合理。然而 IBM-I 取得了很大成功, 因此产生了有了 IBM-I 是否还需要 IBM-II, 中子和质子玻色子的可区分性究竟表现在哪里的问题。

另外, 虽然已有文献<sup>[1]</sup>从  $F$  旋对称的角度出发讨论了 IBM-I 和 IBM-II 之间的关系, 但通常的 IBM-II 计算方案中并不采用  $F$  旋这一概念, 因此 IBM-II 与 IBM-I 之间的关系显得较为模糊。在文献 [2] 中, 我们用  $F$  旋对称和破缺的观点讨论了 IBM-II 和 IBM-I 之间的联系和区别, 并提出了定量地处理  $F$  旋破缺的计算方法, 其实质是 IBM-II 的一种新的计算方案。

本文用文献[2]的方案, 并考虑到玻色子之间的有效相互作用的强度与  $F$  旋有关, 具体地计算了几个偶偶核的转动能谱。计算表明, 用该方案计算的理论结果和实验符合较好, 特别是它能成功地再现某些核的奇  $K$  转动带。

## 二、 $1^+$ 能级和 $F$ 旋自由度

在 IBM-I 中, 正宇称集体态与  $U(6)$  的全对称表示  $\{N\}$  相应, 这里  $N$  为总玻色子数。在  $SU(3)$  极限情形, 它并不存在  $K$  为奇数的带, 也不存在  $1^+$  能级。在 IBM-II 中, 如系统具有  $F$  旋对称性, 则除了全对称表示的态, 还有非全对称表示的相应的态。 $F$  旋越大, 对称程度越高, 则能量就越低。IBM-I 是 IBM-II 考虑了  $F$  旋对称后的低能极限。因为我们感兴趣的是能量较低的态, 因此除了  $U(6)$  全对称表示  $\{N\}$  外, 我们主要考虑非全对称

表示  $\{N = 11\}$ 。在  $SU(3)$  极限情形下,  $\{N = 11\}$  包括奇  $K$  能带,  $K^* = 1^+$  为其最低能带, 故该表示中最低能级为  $I^+$ 。因此具有集体性的  $1^+$  能级以及  $K^* = 1^+$  的带应是  $F$  旋自由度的重要标志。

在中重核和重核转动区的许多核素中已发现有  $1^+$  能级。在  $A = 150$  左右,  $1^+$  能级在  $2\text{MeV}$  附近。随着  $A$  的增加,  $1^+$  能级还有所降低。在重核,  $1^+$  能级更低, 例如  $^{238}\text{U}$  的  $1^+$  能级在  $1\text{MeV}$  附近。并发现一些核素有  $K^* = 1^+$  的带<sup>[3]</sup>。另外, 由  $(n, \gamma)$  反应, 在  $2\text{MeV}$  附近发现  $^{156}\text{Gd}$  有三个靠得很近的  $1^+$  带<sup>[4]</sup>, 对它们性质的研究已引起了广泛的注意。

$F$  旋虽在形式上与同位旋类似, 但这一概念并没有同位旋那样基本。偶偶核同量异位素的低集体激发态具有相同的  $F$  旋, 然而其总结合能以及能谱均有差异。事实上, 这些态的同位旋量子数是不同的。因此并不存在着相应的  $F$  旋多重态或  $F$  旋相似态。因此  $F$  旋对称性只能近似成立, 考虑  $F$  旋破缺是必要的。另外, 不同  $F$  旋的态, 不仅在系统对称性方面有区别, 在相互作用强度方面可能也有差异。 $^{156}\text{Gd}$  的奇  $K$  带靠得很近, 其他核素也有类似现象, 这说明  $F = F_{\max}$  的态和  $F = F_{\max} - 1$  的态玻色子之间的有效相互作用有较大差异。

### 三、计算和讨论

现在我们采用如下哈密尔顿来计算能谱

$$H = H_F + H', \quad (1)$$

其中

$$H_F = \alpha C_{2U6} + \alpha(F) C_{2SU3} + \beta C_{2SO3}. \quad (2)$$

$C_{2U6}$ 、 $C_{2SU3}$ 、 $C_{2SO3}$  分别为  $U(6)$ 、 $SU(3)$ 、 $SO(3)$  群的二次 Casimir 算符, 其本征值已由文献[5]给出, 该哈密尔顿具有  $U(6) \supset SU(3) \supset SO(3)$  群链的对称性, 相应的态其  $F$  旋为好的量子数。我们这里与文献[1]、[5]的差别在于参数  $\alpha$  与  $F$  旋有关, 这反映不同  $F$  旋态玻色子之间有效相互作用的差异。

$H'$  为  $F$  旋破缺项。其具体形式为

$$\begin{aligned} H' &= H'_1 + H'_2 \\ &= \tilde{x}_1'(X^+ \tilde{Z} + Z^+ \tilde{X})^{(0)} + \tilde{x}_2'(Y^+ \tilde{Z} + Z^+ \tilde{Y})^{(0)}, \end{aligned} \quad (3)$$

其中

$$X_M^+ = (s_\nu^+ d_\pi^+ + d_\nu^+ s_\pi^+)_M^{(2)} - \frac{2}{\sqrt{7}} (d_\nu^+ d_\pi^+)_M^{(2)},$$

$$Y_M^+ = (s_\nu^+ d_\pi^+ + d_\nu^+ s_\pi^+)_M^{(2)} + \sqrt{7} (d_\nu^+ d_\pi^+)_M^{(2)}, \quad (4)$$

$$Z_M^+ = (s_\nu^+ d_\pi^+ - d_\nu^+ s_\pi^+)_M^{(2)},$$

$$\tilde{X}_M = (-1)^M (X_{-M}^+)^+, \tilde{Y}_M = (-1)^M (Y_{-M}^+)^+, Z_M = (-1)^M (Z_{-M}^+)^+$$

$H'$  对不同  $F$  旋态之间的矩阵元已由文献[2]的(23)式给出, 其它有关矩阵元也由类似的方法算出。

现在我们来考虑两个具有典型  $SU(3)$  特性的核素:  $^{238}\text{U}$  和  $^{156}\text{Gd}$ 。我们先用(2)式的  $H_F$  来计算  $^{238}\text{U}$  的能谱。选取参数  $\alpha = 146\text{keV}$ ,  $\alpha(F_{\max}) = 8.56\text{keV}$ ,  $\alpha(F_{\max} - 1) =$

$1^+$  为其最  
 $1^+$  的带应

右,  $1^+$  能级  
如  $^{238}\text{U}$  的  
反应, 在  
了广泛的注

偶核同量异  
实上, 这些  
态。因此  $F$   
在系统对称  
其他核素  
有效相互作

(1)

(2)

基本征值已  
立的态其  $F$   
反映不同  $F$

(3)

(4)

$(Z_{\mu}^{\pm})^{\pm}$   
由类似的

$\beta(2)$  式的  
 $x - 1 =$

$0.07\alpha(F_{\max})$ ,  $\beta = 3.6\text{keV}$ , 理论值和实验值的比较如图 1 所示。实验谱中细线条的能级表示其集体性有待进一步验证。从图可看出, 理论和实验符合较好, 并且除了基带、 $\beta$  带和  $\gamma$  带外, 其他的带是 IBM-I 无法处理的。

为了进一步改进理论和实验的符合程度, 我们考虑  $F$  旋破缺, 即采用如下哈密尔顿进行计算

$$H = \alpha C_{2U6} + \alpha(F) C_{2SU3} + \beta C_{2SO3} + H'_2, \quad (5)$$

选取  $\alpha = 144.9\text{keV}$ ,  $\alpha(F_{\max}) = 8.53\text{keV}$ ,  $\alpha(F_{\max} - 1) = 0.07\alpha(F_{\max})$ ,  $\beta = 3.6\text{keV}$ ,  $x'_2 = 90\text{keV}$  来计算。参数  $x'_2$  和(3)式中  $\tilde{x}'_2$  有关, 具体意义见文献[2]的(23)式。计算结果与实验值的比较如图 2 所示。引进  $F$  旋破缺项, 不同  $F$  旋之间的态将发生混合, 但混合程度一般是较小的,  $F$  旋量子数仍可以近似地看作好的量子数, 图中仍注出了这一量子数。考虑了  $F$  旋破缺, 符合程度确有改进。主要表现  $F = 13/2$  的态中,  $K^* = 1^+_1$  和  $K^* = 0^+$  的带相对位置有了改进。为了便于比较, 图 3 画出这一部分的实验谱和二次计算谱。

现在我们来考虑  $^{156}\text{Gd}$ , 采用如下哈密尔顿:

$$H = \alpha C_{2U6} + \alpha_1 C_{1U5} + \alpha(F) C_{2SU3} + \beta C_{2SO3} + H'_2, \quad (6)$$

选取  $\alpha = 90\text{keV}$ ,  $\alpha_1 = 50\text{keV}$ ,  $\alpha(F_{\max}) = -10.9\text{keV}$ ,  $\alpha(F_{\max} - 1) = 0.15\alpha(F_{\max})$ ,  $\beta = 6.4\text{keV}$ ,  $x'_2 = 670\text{keV}$  来计算。理论值和实验值的比较如图 4 所示。图中画出了  $F = 5$  中带首最低的前四个带。其中最后一个带为  $K^* = 1^+_3$ , 与实验谱中  $K^* = 1^+(2187\text{keV})$  相应, 而该带为文献[4]所给出的带首最高的正字称带。

实验谱中  $K^* = 0^+(1168\text{keV})$  带和  $K^* = 4^+(1510\text{keV})$  的带, 分别为对振动态和十六极运动动态, 可分别用  $s'$  玻色子和  $g$  玻色子处理<sup>17</sup>, 故我们这里未加考虑。由于  $F$  旋破缺, 理论谱中原属  $F = 5$  的  $(2N - 4, 2)$  表示中的  $K^* = 2^+$  带已上升到  $K^* = 1^+_3$  带之上,  $(2N - 6, 3)$  表示中的  $K^* = 3^+$  的带, 其带首已较  $1^+_3$  高, 考虑了  $F$  旋破缺后又有升高。故  $F$  旋破缺似乎有“滤去”  $F = 5$  的部分带的作用。由图可以看出理论值和实验结果符合较好, 特别是它能成功地再现三个彼此靠得很近的  $K^* = 1^+$  的带。

引入  $g$  玻色子也能产生奇  $K$  带, 在转动极限情形下, 其第一个  $K^* = 1^+$  的能带在  $0^+_2$  和  $0^+_3$  之间。

在  $F$  旋对称的情况下, 具有不同  $F$  旋值的态之间的跃迁是禁戒的, 考虑了  $F$  旋的破缺

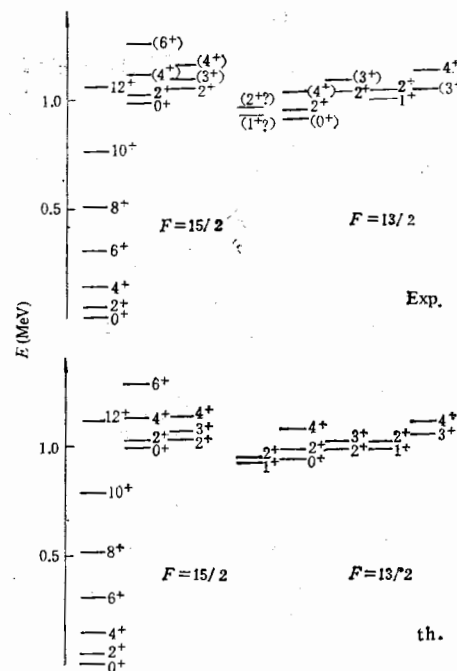
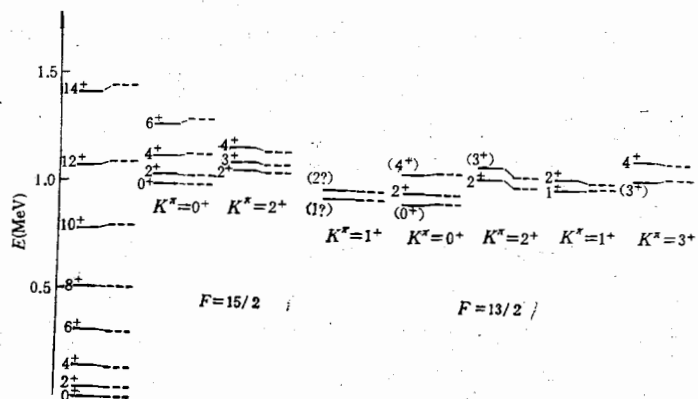
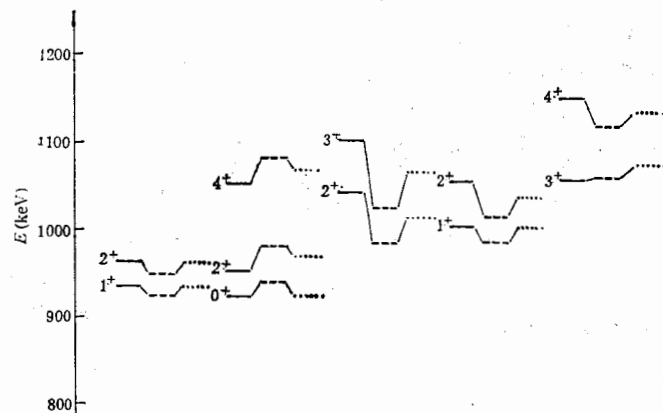
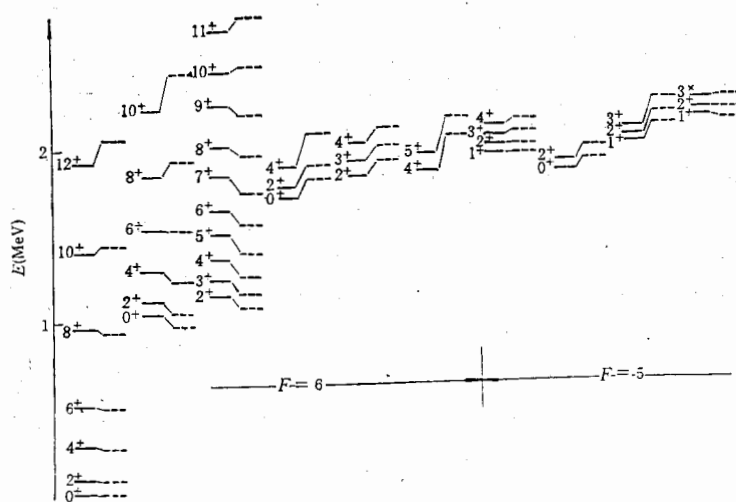


图 1  $^{238}\text{U}$  理论谱与实验谱比较 (I)  
实验数据取自文献[6],  $N = 15$ 。实验谱中细线  
表示能级的集体性有待验证。

图 2  $^{238}\text{U}$  理论谱与实验谱比较 (II) —— Exp. --- th.图 3  $^{238}\text{U}$  理论谱与实验谱比较 (III) ——  $F = 13/2^-$  部分。理论谱 (I) 为无破缺情形, 理论谱 (II) 为考虑了  $F$  旋破缺情形。—— Exp. --- Th. (I) .... Th. (II)图 4  $^{154}\text{Gd}$  理论谱与实验谱比较。实验数据取自文献 [4],  $N = 12$ 。—— Exp. --- th. ---

即可计算相应的跃迁。因此讨论与  $1^+$  集体能级有关的  $M1$  跃迁是重要的。*F* 旋破缺对跃迁几率的影响来自两个方面: 态的破缺和跃迁算符的破缺。在态的破缺较小的情况下, 跃迁算符的破缺较为重要。P. Van Isacker 等人<sup>[8]</sup>采用如下  $M1$  跃迁算符

$$T(M1) = (3/4\pi)^{1/2}(g_s L_s + g_x L_x), \quad (7)$$

得出了在  $SU(3)$  极限情形  $B(M1; 0_1^+ \rightarrow 1_1^+)$  的表达式为

$$B(M1; 0_1^+ \rightarrow 1_1^+) = \frac{3}{4\pi} \frac{8N_p N_x}{(2N - 1)} (g_s - g_x)^2. \quad (8)$$

鉴于现在尚无足够的实验数据, 我们这里就不作进一步讨论。

作者感谢周孝谦教授的支持和有益讨论。

### 参 考 文 献

- [1] A. Arima, T. Otsuka, F. Iachello & T. Talmi, *Phys. Lett.*, **66B**(1977), 205.
- [2] 狄尧民, 高能物理与核物理, **9**(1985), 461.
- [3] Nuclear Data Sheets, **19**(1976), 383.
- [4] A. Backlin et al., *Nucl. Phys.*, **A380**(1982), 189.
- [5] 孙洪洲, 韩其智, 陈学俊, 张攻, 中国科学, (A), (1982), 818.
- [6] Nuclear Data Sheets, **38**(1983), 277.
- [7] P. Van Isacker et al., *Nucl. Phys.*, **A380**(1982), 383.
- [8] P. Van Isacker et al., *Phys. Lett.*, **144B**(1984), 1.

## THE DEGREE OF FREEDOM OF *F*-SPIN AND NUCLEAR ROTATIONAL SPECTRA

形, 理

DI YAO-MIN SU YAO-ZHONG  
(Xuzhou Teachers College, Xuzhou)

### ABSTRACT

In this paper, some rotational spectra are discussed through the *F*-spin breaking, which can well reproduce odd  $K$  bands in some nuclei. These bands may be the manifestation of the degree of freedom of *F*-spin.